

# سیستم جدید احراز هویت مبتنی بر تبدیل های

## کانتورلت و موجک برای تصاویر با کیفیت

### پایین کف دست

سید سعید آیت و محمدرضا خضری

دانشگاه پیام نور، گروه علمی مهندسی کامپیوتر و فناوری اطلاعات

### چکیده

در این مقاله یک روش احراز هویت بر اساس تصاویر با کیفیت پایین کف دست ارائه شده است. در پیاده سازی این سیستم، ابتدا با استفاده از تبدیل های کانتورلت و موجک ویژگی های مورد نظر استخراج می شوند. در مرحله دوم ویژگی های مناسب با استفاده از روش مبتنی بر فیلتر Across Group Variance(AGV) انتخاب می گردند. در آخر نیز با استفاده از روش طبقه بندی، احراز هویت صورت می گیرد. در این تحقیق برای طبقه بندی، سه روش ماشین بردار پشتیبان (SVM)، نوع بهبود یافته نزدیک ترین همسایه (RNN) و همچنین نسخه تقویت شده تحلیل تفکیک کننده خطی مستقیم (BDLDA) مورد ارزیابی قرار گرفته است. در ضمن، آزمایش ها بر روی پایگاه داده مشهور تصاویر کف دست دانشگاه پلی تکنیک هنگ کنگ انجام شده است. نتایج حاصل نشان می دهد که ترکیب سیستم ارائه شده با طبقه بند تحلیل تفکیک کننده خطی مستقیم تقویت شده، بازدهی بهتری را نسبت به سایر روش های انجام شده بر همین پایگاه ارائه می دهد.

واژگان کلیدی: اثر کف دست، احراز هویت، زیست سنجی، تبدیل کانتورلت، تبدیل موجک، AGV

لب ها، نحوه راه رفتن، ژست و حرکات و نحوه فشردن کلید را شامل می شوند.

سیستم های بررسی هویت موجود یا مبتنی بر دانش (آن چه که فرد می داند مانند رمز عبور) و یا مبتنی بر نشان (آن چه که فرد در اختیار دارد مانند گذرنامه و کارت اعتباری) هستند (Zhang, et al., 2003; Boukhonine, et al., 2005). برخلاف روش های معمول موجود که در آن از کلیدها یا رمز های عبور استفاده می شود و امکان گم شدن یا فراموش شدن آن ها نیز هست؛ زیست سنجی به حضور فیزیکی شخص در محل بررسی هویت نیاز دارد؛ و چون مشخصه های زیستی فراموش یا گم نمی شوند و به آسانی نیز نمی توان آن ها را به اشتراک گذاشت، رویکرده کارتر و مطمئن تر برای حل مسئله هویت خواهند بود (Delac and Grgic, 2004).

سیستم های زیست سنجی در کاربرد بررسی هویت به دو دسته تعیین یا احراز هویت<sup>۲</sup> و تأیید هویت<sup>۱</sup> تقسیم

### ۱- مقدمه

بررسی خودکار هویت افراد، امروزه به یک موضوع مهم در زمینه اطلاعات جهانی تبدیل شده است. با توجه به اهمیت روزافزون امنیت در تبادل اطلاعات، بسیاری سیستم های امروزی به یک بررسی هویت قطعی و معین احتیاج دارند تا بتوانند خدمات خود را در اختیار کاربر قرار دهند. در سال های اخیر تلاش های بسیاری در زمینه امنیت و بررسی هویت، انجام شده است که یکی از این حوزه ها، زیست سنجی می باشد (Boukhonine, et al., 2005; Zhang, et al., 2003).

زیست سنجی<sup>۱</sup> یکی از شاخه های علم و فناوری است که هدف آن، بررسی هویت بر اساس ویژگی های فیزیولوژیکی یا رفتاری شخصی می باشد. برای شاخص های فیزیولوژیکی می توان از مواردی مثل اثranگشت، اثر کف دست، شکل دست، چهره، عنایه، شبکیه و گوش نام برد، شاخص های رفتاری نیز مواردی نظیر امضا، صدا، حرکت

<sup>2</sup> Identification

سال ۱۳۸۹ شماره ۲ پیاپی ۱۴

<sup>1</sup> Biometrics

گزارش گروه زیست‌سنجدی بین‌المللی، زیست‌سنجدی بر پایه دست، ۶۰ درصد بازار را در سال ۲۰۰۱ به خود اختصاص داده بوده است (Nicolae, 2009). در طول ۲۵ سال گذشته تحقیقات بسیاری بر روی احراز هویت خودکار از طریق اثر انگشت انجام شده است.

امروزه روش‌های تشخیص اثر انگشت با اثر انگشت‌های واضح و کامل با مشکل خاصی روبرو نیستند، اما بهدلیل مشکلات پوستی یا نوع شغل افراد، دو درصد مردم نمی‌توانند اثر انگشت واضحی را ارائه دهند (Nicolae, 2009)؛ از این رو یکی از محورهای تحقیقاتی این زمینه حل مشکل اثر انگشت‌های ناواضح است. در این راستا نیز تحقیقات بسیاری در جهت یافتن فناوری‌های جدید اسکن تصاویر، الگوریتم‌های پیش‌پردازش، روش‌های ارایه‌ویژگی و پیش‌پردازش و همچنین طبقه‌بندی صورت گرفته است.

از دیگر راه‌کارهای ارائه شده برای حل<sup>۳</sup> این مشکل، استفاده از شاخص دیگری بدنام شکل دست است. از آن جا که اطلاعات این شاخص، مثل طول و عرض دست و انگشتان، ساده، اما محدود و غیردقیق هستند، شاخص کف دست توسط آفای زانگ ارائه شد. سطح داخلی کف دست شامل ویژگی‌های مناسبی مثل خطوط اصلی و فرعی و فرورفتگی‌ها می‌باشد و بهمین دلیل اثر کف دست نسبت به نویز مقاوم و بسیار منحصر به فرد است (Nicolae, 2009).

روش‌های موجود تشخیص کف دست، از چهار نوع ویژگی‌های کف دست بهره می‌برند: زمینه، خطوط، تصویر و جهت. بر این اساس، روش‌های موجود تشخیص کف دست با توجه به ویژگی استخراج شده به پنج دسته تقسیم می‌شوند (Zhou, et al., 2009):

- ۱) روش‌های مبتنی بر طرح<sup>۴</sup> کف دست که از فیلترهای مثل گبور، فوریه گسسته، موجک و ریدان استفاده می‌کنند؛
- ۲) روش‌های مبتنی بر خطوط<sup>۵</sup> کف دست مثل تشخیص دهنده‌های خطوط جهت‌دار، عملگر سوبر، فیلتر ریدان و فیلترهای چند وضعی؛
- ۳) روش‌های مبتنی بر تصویر<sup>۶</sup> که از تحلیل مؤلفه اصلی، تحلیل متمایز خطی، تصویر محافظ محلی و تحلیل مؤلفه اصلی هسته استفاده می‌کنند.

<sup>3</sup> Texture based

<sup>4</sup> Line based

<sup>5</sup> Appearance based

می‌شوند. هدف دسته اول تشخیص هویت فرد از بین افراد موجود در پایگاه داده می‌باشد. در این‌گونه سیستم‌ها به سؤال "من چه کسی هستم؟"<sup>۷</sup> پاسخ داده می‌شود. حال آن که در دسته دوم فرد هویت خود را ارائه می‌دهد و هدف سیستم تأیید هویت اوست، در این‌گونه سیستم‌ها به سؤال "آیا من همانی هستم که ادعا می‌کنم یا نه؟"<sup>۸</sup> پاسخ داده می‌شود (Kong, et al., 2009).

دست انسان یکی از مقبول‌ترین شاخص‌های زیست‌سنجدی است. یک سیستم زیست‌سنجدی استفاده کننده از ویژگی‌های دست به‌طور معمول کار خود را در چند مرحله انجام می‌دهد: ۱. به‌دست آوردن داده ۲. پیش‌پردازش ۳. استخراج ویژگی ۴. تطبیق ۵. تصمیم گیری.

اثر انگشت نیز به عنوان یکی از قسمت‌های دست از قدیمی‌ترین شاخص‌های زیست‌سنجدی می‌باشد (Delac, et al., 2004). پایه و اساس این شاخص، ویژگی‌های ریز و درشت منحصر به فرد انگشت هر شخص می‌باشد. ویژگی‌های ریز اثر انگشت را ریز ذره می‌گویند. این ویژگی‌ها با چشم غیر مسلح قابل روئیت نیستند. روش‌های استفاده شده در تشخیص اثر انگشت به سه دسته اصلی مبتنی بر ریز ذره<sup>۹</sup>، تصویر و ترکیبی، قابل تقسیم می‌باشند. به‌طور معمول سرعت الگوریتم‌های استفاده کننده از ویژگی‌های ریز ذره پایین است، اما در صورت وجود تصویر با کیفیت بالا دقّت خوبی خواهد داشت.

از سوی دیگر، روش‌های مبتنی بر تصویر از هر دو نوع ویژگی‌های ریز و درشت اثر انگشت استفاده می‌کنند؛ ویژگی‌های درشت مثل حلقه‌ها، کمان‌ها و پیچش‌ها هستند که همه با خطوط روی اثر انگشت به وجود می‌آیند. به‌طور معمول استفاده از این ویژگی‌ها در بررسی هویت باعث افزایش سرعت الگوریتم خواهد شد. در این الگوریتم‌ها به‌طور معمول کل تصویر مورد استفاده قرار می‌گیرد. دسته سوم روش‌ها می‌تواند ترکیبی از دو حالت ذکر شده قبلی باشد و هدف آن، به‌دست آوردن دقّت الگوریتم‌های مبتنی بر ریز ذره و سرعت روش‌های مبتنی بر تصویر است (Boukhonine, et al., 2005).

امروزه فناوری‌های زیست‌سنجدی بر پایه دست مثل احراز هویت از طریق اثر انگشت و شکل دست بیش‌ترین درخواست را در عرصه زیست‌سنجدی داشته‌اند. با توجه به

<sup>1</sup> Verification

<sup>2</sup> Minutiae

روش های مبتنی بر تصویر (شبہ فضا) در ادبیات تشخیص چهره، روشن های مبتنی بر ظاهر نیز نامیده می شوند (Zhou, et al., 2009). این گونه روش ها از ابزارهایی نظیر آنالیز مؤلفه اصلی<sup>۳</sup> (PCA)، آنالیز تفکیک کننده خطی<sup>۴</sup> (LDA) و آنالیز مؤلفه مستقل<sup>۵</sup> (ICA) استفاده می کنند (Shang, et al., 2004; Connie, et al., 2005; Lu, et al., 2004; Connie, et al., 2005; Ekinci and Aykut, 2007; Lu, et al., 2004; Feng, et al., 2006; Yang, et al., 2007). در این روش ها ضرایب شبہ فضا به عنوان ویژگی در نظر گرفته می شوند. لازم به ذکر است که برای مقایسه کردن ویژگی ها از فاصله سنج ها و طبقه بندها استفاده می شود.

در تحقیقات گزارش شده علاوه بر اعمال PCA، ICA به طور مستقیم بر تصاویر کفده است، تبدیل های موجک، گابور، کسینوسی گستته (DCT) و هسته ها نیز به کار گرفته شده است (Li, et al., 2004; Connie, et al., 2005; Ekinci and Aykut, 2007; Lu, et al., 2004; Feng, et al., 2006; Yang, et al., 2007). از سوی دیگر برخی از محققان روش شبہ فضای جدیدی را توسعه داده اند و آن را بر روی تصاویر کفده است امتحان کرده اند (Deng, et al., 2007). در این روش ها به عنوان یک نکته کلی، این گونه روش ها به اطلاعات قبلی در مورد کفده است احتیاج ندارند.

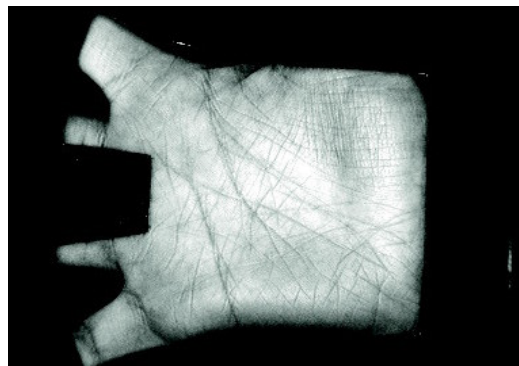
در این مقاله یک سیستم احراز هویت مبتنی بر تصویر کفده است که در مرحله استخراج ویژگی از تبدیل های کانتورلت<sup>۶</sup> و موجک<sup>۷</sup> استفاده می کند، ارائه شده است. تبدیل کانتورلت از خانواده تبدیل موجک، در واقع بهبود یافته تبدیل کروولت می باشد. مهم ترین ویژگی این تبدیل، تشخیص مؤثر منحنی های نرم در تصویر می باشد (Do and Vetterli, 2009). تبدیل موجک به دلیل خاصیت چند تفکیکی و پیچیدگی محاسباتی کم برای استخراج خطوط اصلی و فرعی از تصاویر با کیفیت پایین، مناسب است. اما موجک محدودیت هایی دارد، از جمله این که ویژگی ها را در جهات محدودی استخراج می کند که این مشکل با استفاده از تبدیل کانتورلت قابل حل است؛ چرا که این تبدیل منحنی های تصویر را با قابلیت تجزیه چند جهتی، به خوبی تشخیص می دهد. ویژگی های متفاوت این دو تبدیل

<sup>۴</sup>) روش های مبتنی بر جهت<sup>۱</sup> که به طور معمول از فیلتر گابور استفاده می کنند.

<sup>۵</sup>) روش های مبتنی بر چند ویژگی<sup>۲</sup>، به عنوان مثال ترکیب ویژگی های خطوط کفده است و زمینه با هم در یک بردار. به طور معمول ترکیب ها در چهار سطح داده، ویژگی، تطبیق، و تصمیم گیری انجام می شود. روش های ترکیب در سطح ویژگی نیز به نوبه خود به چهار دسته تقسیم می شوند: ترکیب سری، ترکیب موازی، ترکیب وزنی، ترکیب مبتنی بر هسته (Zhou, et al., 2009).

روش های کفده است به طور معمول مبتنی بر ویژگی هستند، این گونه روش ها از دقّت بالای برخوردارند؛ در عین حال پیچیدگی زیاد و سرعت اجرای پایینی نسبت به روش های مبتنی بر تصویر دارند، و از طرح، خطوط کفده است و نقاط خاص آن به عنوان ویژگی استفاده می کنند. این روش ها به تصاویر با کیفیت و واضح بالا نیاز دارند که این به نوبه خود به سیستم های اسکنر خاص که بالطبع از لحاظ تجاری در سطح گسترده مقرن به صرفه نیستند، احتیاج دارد (Mu, et al., 2010).

دلایل مذکور انگیزه ای است برای تحقیق در یافتن روشی برای تصویر با دقّت بالا و پیچیدگی کم، به گونه ای که این روش بر روی تصاویر با وضوح پایین نیز به خوبی عمل کند. دلیل استفاده از تصاویر با کیفیت پایین (شکل ۱) این است که روش های مبتنی بر تصویر، این هدف را دنبال می کنند که با این گونه تصاویر نیز کارآیی مناسبی داشته باشند. امروزه به لحاظ مسائل تجاری و نیاز به مقرن به صرفه بودن سیستم های زیست سنجی تحقیقات بیشتر بر روی تصاویر با کیفیت پایین صورت می گیرد (Huang, et al., 2009).



(شکل ۱): نمونه تصویر کفده است پایگاه داده با کیفیت پایین

<sup>3</sup> Principle Component Analysis

<sup>4</sup> Linear Discriminant Analysis

<sup>5</sup> Independent Component Analysis

<sup>6</sup> Contourlet transform

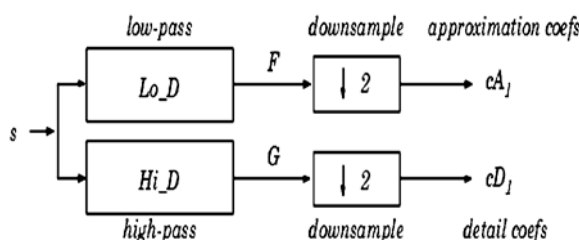
<sup>7</sup> Wavelet transform

سال ۱۳۸۹ شماره ۲ پیاپی ۱۴

<sup>1</sup> Orientation based

<sup>2</sup> Multi feature based

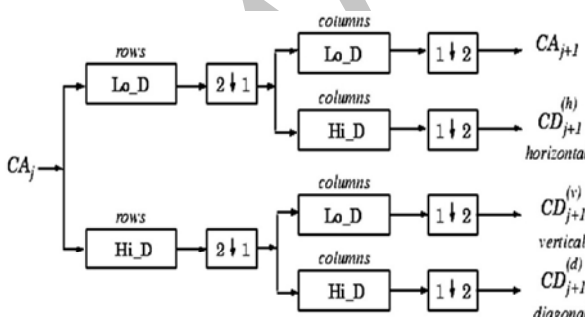
پایین‌گذار و یک فیلتر بالاگذار به دو بخش تقسیم می‌شود: بخش فرکانس بالا و بخش فرکانس پایین که تعداد نمونه‌ها در هر یک از این بخش‌ها نصف تعداد نمونه‌های سیگنال اصلی است. سپس بخش فرکانس بالا تقسیم می‌شود تعداد دفعاتی که این عمل انجام می‌گیرد تعداد سطح تجزیه تبدیل موجک را نشان می‌دهد (Mallate, 1998) (شکل ۳).



(شکل ۳): تبدیل موجک یکبعدی (Mallate, 1998)

برای سیگنال دو بعدی، مشابه سیگنال یک بعدی تبدیل به همان ترتیب یک بار به طور افقی و یک بار به طور عمودی انجام می‌شود. (شکل ۴)، بلوك دیاگرام تبدیل موجک دو بعدی را نشان می‌دهد.

در تبدیل موجک دو بعدی تصویر با ابعاد  $x$  و  $y$  به چهار ناحیه  $LL, HH, LH, LL$  تقسیم می‌شود که  $LL$  ناحیه‌ای با ابعاد  $x/2 \times y/2$  است؛ سپس به چهار ناحیه با ابعاد  $x/4 \times y/4$  و به نام‌های  $LL_1, LL_2, LH_1$  و  $HH_1$  تقسیم می‌شود؛ پس از آن ناحیه  $LL_1$  به چهار ناحیه تقسیم می‌شود و این عمل تا حد دلخواه ادامه می‌یابد. برای تبدیل موجک در سطح تجزیه  $n$  این کار  $n$  بار انجام می‌گیرد. درنهایت ناحیه  $LL_n$  با ابعاد  $x/2^n \times y/2^n$  به دست خواهد آمد (Mallate, 1998).



(شکل ۴): تبدیل موجک دو بعدی (Mallate, 1998)

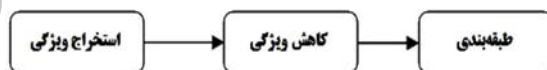
بنابراین در حوزه تبدیل موجک تصویر به صورت یک ساختار هرمی، مانند آنچه در (شکل ۵) نمایش داده شده است تبدیل می‌شود. در این شکل حرف اوّل اسم هر ناحیه

که به عنوان مثال در (Prasad, et al., 2011) گزارش شده است، انگیزه‌ای برای آزمایش ترکیب ویژگی‌های این دو تبدیل و همچنین هر کدام به طور جداگانه بوده است در سیستم پیشنهادی، پس از اعمال تبدیل‌ها و استخراج ویژگی‌ها، با استفاده از روش جدید<sup>۱</sup> که توضیح آن خواهد آمد، ویژگی‌های مناسب انتخاب شده و سپس طبقه‌بندی می‌گردد. برای طبقه‌بندی نیز، روش ماشین چین نسخه تقویت‌شده تحلیل تفکیک‌کننده خطی مستقیم، مورد ارزیابی قرار گرفته است.

ساختار مقاله بدین صورت است: در (بخش ۲) سیستم پیشنهادی ارائه می‌شود، (بخش ۳) نتایج شبیه‌سازی‌های انجام شده را نشان می‌دهد و (بخش ۴) به نتیجه‌گیری می‌پردازد.

## ۲- سیستم پیشنهادی

سیستم پیشنهادی احراز هویت مبتنی بر تصویر کف دست، شامل سه قسمت اصلی می‌باشد: (الف) قسمت استخراج ویژگی؛ (ب) قسمت کاهش ویژگی؛ (ج) قسمت طبقه‌بندی (شکل ۲). در ادامه جزئیات این سه قسمت، توضیح داده شده است.



(شکل ۲): مراحل مختلف الگوریتم پیشنهادی

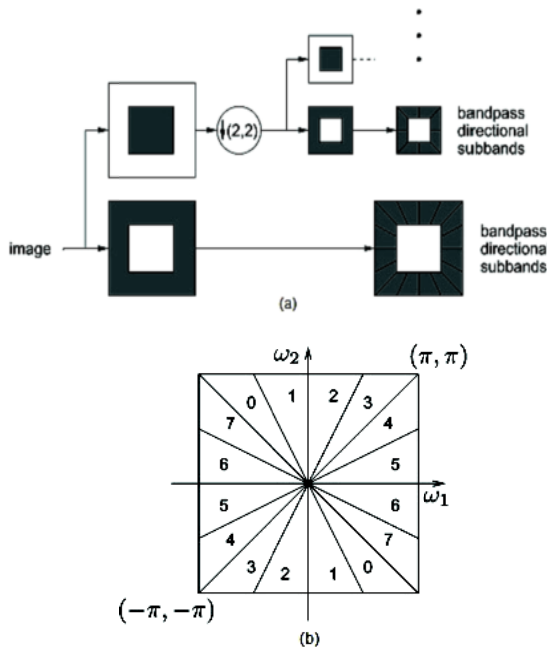
## ۲-۱- استخراج ویژگی

در این مرحله از تبدیل‌های موجک و کانتورلت جهت استخراج ویژگی‌ها استفاده شده است. با اعمال این تبدیل‌ها بر تصویر، ضرایبی به دست می‌آید، که مجموعه آن‌ها بردار ویژگی‌ها را تشکیل می‌دهد. ابتدا با استفاده از تبدیل‌های مذکور، ویژگی‌ها را استخراج می‌کنیم، و سپس ویژگی‌های به دست آمده را در یک بُردار قرار می‌دهیم. درواقع یک ترکیب ساده بر ویژگی‌های به دست آمده از دو تبدیل موجک و کانتورلت، در این مرحله انجام می‌دهیم.

### ۲-۱-۱- تبدیل موجک

روش به دست آوردن تبدیل موجک برای یک سیگنال یک بعدی به این صورت است که سیگنال با یک فیلتر

<sup>۱</sup> Across Group Variance



(شکل ۶): نمودار یک فیلتر بانک جهتدار هرمی

.PDFB (a) بلوک دیاگرام (PDFB).

(b) نحوه تقسیم‌بندی صفحه فرکانس حاصل از PDFB. تعداد زوایا با افزایش فرکانس افزایش می‌باید (Do, et al., 2003).

تبديل کانتورلت از دو بخش عمدۀ تشکيل شده است: تجزیه‌گر هرم لایپلاس (LP) و بانک‌های فیلتر جهت‌دار (DFB<sup>۳</sup>). تصویر اصلی توسط هرم لایپلاس به دو تصویر تبدیل می‌شود؛ تصویر عبور پایین و تصویر عبور باند. هر تصویر عبور باند در مرحله بعد توسط بانک فیلتر جهت‌دار تجزیه می‌گردد؛ و با تکرار مراحل ذکر شده روی تصویر عبور پایین، تجزیه چندمقیاسه و چندجهتی از تصویر به دست می‌آید (Do, et al., 2003).

## ۲-۱-۲- کاهش ویژگی به روش AGV

در این مرحله برای جلوگیری از تأثیر اطلاعات اضافه در طبقه‌بندی، تعداد ویژگی‌ها با استفاده از یک روش مناسب کاهش می‌باید. در (Dias, et al., 2009) آمده است که در بین روش‌های کاهش ویژگی، روش مبتنی بر فیلتر جدید AGV کانال‌های مناسب‌تری را انتخاب می‌کند.

## Across Group Variance -۱-۲-۲

روش AGV (Across group variance) یک روش انتخاب ویژگی مبتنی بر فیلتر می‌باشد که از یک فرمول متفاوت PCA استفاده می‌کند. در مرحله اول با استفاده از PCA

نوع فیلتر در جهت افقی و دومین حرف نوع فیلتر در جهت عمودی و حرف سوم شماره سطح تبدیل موجک را نشان می‌دهد.

$LL_3$	$HL_3$	$HL_2$	$HL_1$ (horizontal detail)
$LH_3$	$HH_3$		
$LH_2$	$HH_2$		
$LH_1$ (vertical detail)	$HH_1$ (diagonal detail)		

(شکل ۵): تجزیه هرمی موجک سطح ۳.

## ۲-۲- تبدیل کانتورلت

تبدیل کانتورلت، تبدیل دو بعدی جهت‌دار جدایی ناپذیری است که برای توصیف منحنی‌ها و جزئیات ظرفی در تصاویر به کار می‌رود. بسط کانتورلت از توابع پایه‌ای که در جهات مختلف با اشکال و مقیاس‌های مختلف گرایش دارند (ناهمسان گردی) تشکیل شده است. با این مجموعه از توابع پایه‌ای غنی، تبدیل کانتورلت به طور کارآیی کانتورلهای هموار که اجزای اصلی و مهم در تصاویر طبیعی می‌باشند را توصیف می‌کند. برخلاف دیگر تبدیل‌ها که ابتدا در یک حوزه پیوسته ساخته می‌شوند و سپس برای نمونه‌برداری داده گسترش می‌شوند، تبدیل کانتورلت با کمک فیلتر بانک‌ها از یک حوزه گسترش شروع و سپس از طریق یک چهارچوب تحلیلی چندتفکیکی به یک حوزه پیوسته هم‌گرا می‌شود (Do, et al., 2003).

اگر تبدیل موجک با ساختار شبیه هرم لایپلاسین (LP<sup>۱</sup>) را که یک تبدیل چندمقیاسه است و برای تسریخ نقاط ناپیوسته تصویر، یعنی همان لبه‌های تصویر به کار می‌رود، با یک فیلتر بانک جهت‌دار که برای ارتباط نقاط ناپیوستگی به یک ساختار خطی به کار می‌رود ترکیب کنیم، به چنین ترکیبی "فیلتر بانک جهت‌دار هرمی (PDFB<sup>۲</sup>)" و به بسط حاصل از آن تبدیل کانتورلت می‌گویند. ساختار بلوکی برای فیلتر بانک کانتورلت در (شکل ۶) همراه با یک مثال از افزای فرکانسی اش نمایش داده شده است (Do, et al., 2003).

<sup>1</sup> Laplacian Pyramid

<sup>2</sup> Pyramid Directional Filter Bank

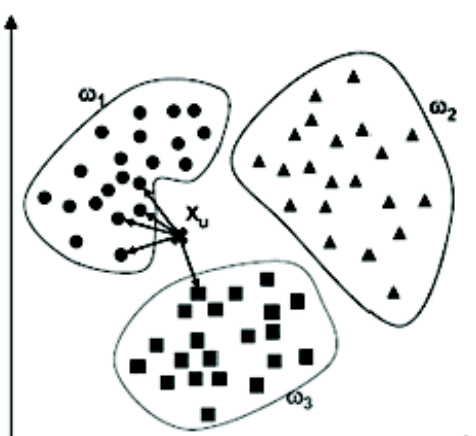
که این امر به معنی این است که بین آن‌ها کمترین فاصله وجود داشته باشد استاندارد (*Shakhnarovich, et al., 2005*). این روش به طور کامل شهودی و قابل درک است. ثابت شده است که نزدیکترین همسایه، تخمین ساده‌ای از طبقه‌بند بهینه بیز است (*Bishop, et al., 1998*).

الگوریتم  $k$  نزدیکترین همسایه<sup>۲</sup> (KNN)، و همچنین بسیار شبیه الگوریتم نزدیکترین همسایه عمل می‌کند. در الگوریتم KNN برای انتساب نمونه جدید آزمایش، یعنی  $x$  می‌توانیم یک سلول به مرکزیت  $x$  ایجاد کرده و اجازه دهیم شعاع این سلول تا حدی گسترش پیدا کند که  $k$  نمونه از نمونه‌های آموزش را در بر گیرد. این نمونه‌ها  $k$ -نزدیکترین همسایه‌های  $x$  هستند.

این طبقه‌بند به سه فیلد اطلاعاتی نیاز دارد:

(۱) مجموعه‌ای از داده‌های برچسب‌دار که به عنوان داده‌های آموزشی مورد استفاده قرار گیرند (۲) مقدار  $K$ ، یعنی این‌که برچسب نمونه جدید آزمایش را به چند تا از نزدیکترین همسایه‌ها در نمونه‌های آموزش انتساب دهیم (۳) یک معیار مناسب برای مشخص کردن مقدار شباهت یا همان فاصله. در مثال زیر نحوه عملکرد  $k$ -نزدیکترین همسایه نشان داده شده است (*Shakhnarovich, et al., 2005*).

در یک مسئله سه کلاسه اگر از فاصله اقلیدسی به عنوان معیار شباهت استفاده کنیم و  $k=5$  فرض کنیم، برای یافتن برچسب نمونه  $x_u$  همان‌طور که در (شکل ۸) می‌بینیم چهار تا از نزدیکترین همسایه‌ها متعلق به کلاس  $w_1$  هستند، پس نمونه  $x_u$  به این کلاس متعلق خواهد شد (شکل ۸).



(شکل ۸): مثالی از عملکرد NN با  $K=5$ .

<sup>2</sup> K Nearest Neighbour

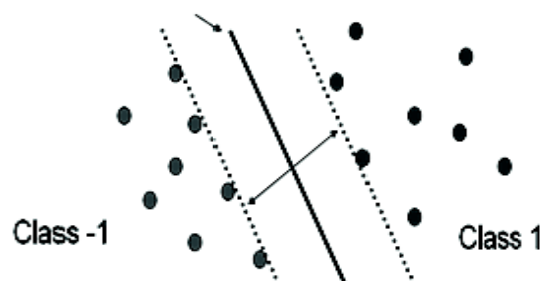
ابعاد ماتریس ویژگی‌ها کاهش پیدا می‌کند و سپس در مرحله دوم ویژگی‌های باقیمانده بر اساس قابلیت تمایز آن‌ها رده‌بندی می‌شوند (*Dias, et al., 2009*).

### ۳-۲- طبقه‌بندی

بعد از کاهش تعداد ویژگی‌ها، حال با استفاده از یک طبقه‌بند، احراز هویت را تکمیل می‌کنیم. در این تحقیق روش‌های ماشین بردار پشتیبان (Hsu, et al., 2003)، طبقه‌بند نزدیکترین همسایه استاندارد (*Shakhnarovich, et al., 2005*) و یک نوع بازبینی شده آن (Alimardani, et al., 2008) به علاوه نسخه تقویت شده تحلیل تفکیک‌کننده خطی مستقیم (Boostani, et al., 2009) مورد استفاده قرار گرفته‌اند.

### ۳-۲-۱- ماشین بُردار پشتیبان (SVM<sup>۱</sup>)

در ماشین بُردار پشتیبان با فرض این که دسته‌ها به صورت خطی جدا ای پذیر باشند، این دسته‌بندی کننده ابرصفحه‌هایی با حداکثر حاشیه را به دست می‌آورد (Hsu, et al., 2003). (شکل ۷)، نمونه‌ای از تقسیم صفحه به دو دسته را نشان می‌دهد. در مسائلی که به صورت خطی جدا ای پذیر نباشند، داده‌ها را با اعمال یکتابع هسته مناسب به فضایی با ابعاد بیشتر نگاشت می‌کنند تا بتوان آن‌ها را در این فضای جدید به صورت خطی جدا ای پذیر باشند، اگر دو دسته وجود داشته باشند که به صورت خطی جدا ای پذیر باشند، بهترین جدا کننده، آن است که بیشترین حاشیه را ایجاد کند (Hsu, et al., 2003).



(شکل ۷): ابرصفحه‌ای به دست آمده بین دو کلاس توسط SVM.

### ۳-۲-۳- طبقه‌بند نزدیکترین همسایه (KNN)

ایده اساسی طبقه‌بند نزدیکترین همسایه این است که نمونه جدید آزمایش را به یکی از نمونه‌های آموزشی انتساب (برچسب) دهیم که بیشترین شباهت را با هم داشته باشند؛

<sup>1</sup> Support Vector Machine

### ۳- پیاده‌سازی و آزمایش‌ها

آزمایش‌های انجام شده با استفاده از نرم‌افزار Matlab صورت گرفته است و از contourlet\_toolbox برای تبدیل کانتورلت و OSU-SVM3 برای ماشین بردار پشتیبان استفاده شده است. ارزیابی‌ها بر روی پایگاه داده استاندارد کفدت مربوط به دانشگاه پلی‌تکنیک هنگ‌کنگ انجام گرفت، مجموعه داده PolyU Palmprint (پالیو پالمپرینت) شامل ۷۷۵۲ تصویر کفدت مربوط به ۳۸۶ نفر می‌باشد که از هر نفر حدود بیست تصویر موجود است. ابعاد تصاویر  $384 \times 284$  پیکسل می‌باشد.

در این پژوهش از موجک معتمد (sym8) استفاده و تا پنج سطح، از تصویر تبدیل گرفته شده است. همچنان در تبدیل کانتورلت از فیلترهای<sup>۹-۷</sup> و PKVA به ترتیب برای فیلتر بانک‌های هرمی و جهت‌دار استفاده شده است؛ و در دو سطح تجزیه صورت گرفته و در هر سطح در چهار جهت ویژگی‌ها استخراج شده‌اند.

ویژگی‌های استخراج شده انرژی موجود در هر زیرباند می‌باشد که در جمع تعداد ویژگی‌هایی که از هر دو تبدیل به دست می‌آید، ۱۲۵۳ ویژگی برای هر تصویر خواهد بود. بعد از ترکیب ویژگی‌ها به یک ماتریس به اندازه  $7720 \times 1253$  دست می‌یابیم. سپس با استفاده از AGV  $1253 \times 30$  ویژگی را به ۳۰ ویژگی کاهش داده‌ایم.

سیستم پیشنهادی، در ترکیب با سه روش مختلف طبقه‌بندی ماشین بردار پشتیبان، نزدیک‌ترین همسایه بازبینی شده و نسخه تقویت‌شده تحلیل تفکیک خطی مستقیم، پیاده‌سازی و ارزیابی گردید. برای طبقه‌بند ماشین بُردار پشتیبان ازتابع هسته چندجمله‌ای استفاده شده است. (شکل ۹)، نتایج به دست آمده ارزیابی سیستم پیشنهادی در استفاده از ویژگی‌های به دست آمده از تبدیل‌های موجک و کانتورلت در ترکیب با طبقه‌بندی‌های مورد مطالعه را نشان می‌دهد.

همان‌گونه که دیده می‌شود، سیستم پیشنهادی استفاده کننده از ویژگی‌های هر دو تبدیل موجک و کانتورلت، در ترکیب با طبقه‌بند تحلیل تفکیک خطی مستقیم تقویت شده. بهترین دقت یعنی ۹۸.۰۶٪ درصد را ارائه می‌دهد.

(جدول ۱)، نیز نتیجه به دست آمده از اجرای الگوریتم با طبقه‌بند تحلیل تفکیک خطی مستقیم تقویت شده در مقایسه با چندی از روش‌های پیشین اجرا شده بر روی همین پایگاه داده را نشان می‌دهد.

### ۳-۳-۲- طبقه‌بند نزدیک‌ترین همسایه بازبینی شده (RNN)

در (2008) Alimardani, et al., از اولین نزدیک‌ترین همسایه استفاده شده است. برای افزایش درجه اطمینان تصمیم اولین نزدیک‌ترین همسایه به جای استفاده از یکی از معیارهای ذکر شده در اینجا از سه تا از معیارها بهطور همسان استفاده می‌شود و نتیجه طبقه‌بند برای هر نمونه آزمایش، بیشترین رأی بین این سه معیار خواهد بود. سه معیار مورد استفاده، فاصله‌های مینکوسکی، منهتن و اقلیدسی هستند.

### ۴-۳-۲- تحلیل تفکیک خطی مستقیم تقویت شده (BDLDA)<sup>۱</sup>

هدف LDA یافتن راستایی در فضای ویژگی‌هاست که فاصله نسبت میانه‌های ماتریس پراکنده‌ی درون کلاسی  $S_w$  را به بیشینه خود برساند تا درنتیجه تفکیک‌پذیری کلاس بهینه شود. این هدف با استفاده از ماتریس پراکنده‌ی بین کلاسی  $S_B$  و بیشینه ساختن معیار زیر به دست می‌آید (Boostani, et al., 2009).

$$J(W) = \frac{W^T S_B W}{W^T S_W W} \quad (1)$$

جهت  $W$  که این معیار را بیشینه می‌کند، به صورت زیر می‌توان نشان داد:

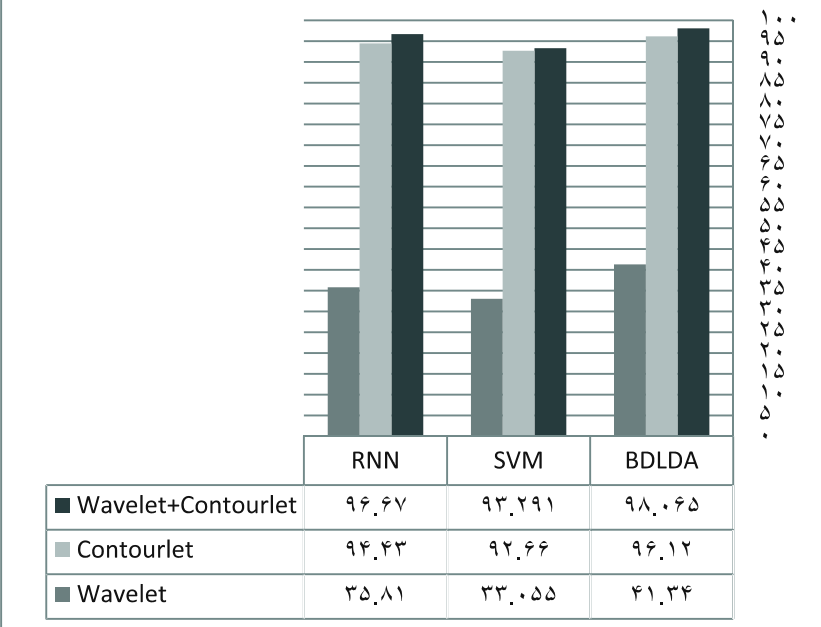
$$W = S_W^{-1}(m_1 - m_2) \quad (2)$$

که  $m_1$  و  $m_2$  میانه‌های هر دو کلاس هستند. در LDA راستاهایی را که پراکنده‌ی داده‌ها نزدیک به صفر هستند به عنوان داده‌های غیر مفید در نظر گرفته شده و دور ریخته می‌شوند. اما در DLDA این داده‌ها حاوی اطلاعات مفید در نظر گرفته می‌شوند.

در حالت تقویت‌شده DLDA یعنی Boosted DLDA به این صورت عمل می‌شود که الگوریتم DLDA تکرار می‌شود؛ اما در هر بار تکرار، توزیعی روی ناحیه‌ای که غلط طبقه‌بندی شده است ایجاد می‌کند؛ به نحوی که این ناحیه ضرایب بالاتری نسبت به ناحیه طبقه‌بندی شده صحیح پیدا کنند. این روند تا جایی می‌تواند ادامه پیدا کند که به نتایج بهتری نسبت به تکرار قبل برسیم (Boostani, et al., 2009).

<sup>۱</sup> Boosted Direct Linear Discriminant Analysis

## Genuine Identification Rate(%)



(شکل ۹): ارزیابی دقت سیستم پیشنهادی در ترکیب با سه طبقه بند مختلف (GIR%).

(جدول ۱): مقایسه نتایج سیستم پیشنهادی با سایر روش‌های انجام شده بر همین پایگاه داده.

Method	Result
Proposed System	98.065%
DCT (Dale, Joshi, & Gilda, 2009)	97.50%
2DPCA With wavelet (Lu, Zhang, Kang, Xue, & Chen, 2006)	97.00%
Gabor-LBP (Shen, ji, zhang, & guo, 2009)	96.82%
Digital Curvelet (Dong, Feng, & Hu, 2004)	95.25%

باعث افزایش کارایی سیستم گردید. همچنین در این سیستم برای مرحله طبقه‌بندی، سه روش سه روش ماشین بردار پشتیبان (SVM)، نوع بهمودی‌یافته نزدیک‌ترین همسایه (RNN) و همچنین نسخه تقویت‌شده تحلیل تفکیک‌کننده خطی مستقیم (BDLDA) مورده ارزیابی قرار گرفت که در این میان، طبقه‌بند تحلیل تفکیک خطی مستقیم تقویت شده، نتایج برتری را برای پایگاه داده مورد آزمایش، به همراه داشته است.

## ۵- مراجع

Alimardani, F., Boostani, R., and Ansari, E., 2008. Feature selection SDA method in ensemble nearest neighbor classifier. 13th International CSI Computer Conference, Kish Island, Iran, 6(2), 884–887.

Bishop, C. M., Svensén, M., and Williams, C. K. I., 1998. GTM: The generative topographic mapping. Neural Computation, 10(1), 215-234.

## ۴- نتیجه‌گیری

در این مقاله یک سیستم احراز هویت برای تصاویر با کیفیت پایین کفdst و با استفاده از ویژگی‌های حاصل از تبدیل‌های کانتورلت و موجک پیشنهاد گردید. این سیستم پیشنهادی شامل سه قسمت اصلی: استخراج ویژگی، کاهش ویژگی، و طبقه‌بندی می‌باشد. در مرحله استخراج ویژگی، تبدیل‌های موجک و کانتورلت مورد بررسی قرار گرفت. ارزیابی‌ها نشان داد که ترکیب ویژگی‌های استخراج شده از این تبدیل‌ها، نتایج برتری را نسبت به استفاده از ویژگی‌های به دست آمده از هر یک از این تبدیل‌ها به تنها یکی، ارائه می‌دهد. دلیل این امر استفاده از مزایای این دو تبدیل به‌طور هم‌زمان، در ویژگی‌های ترکیبی است.

در قسمت کاهش ویژگی در سیستم پیشنهادی نیز، استفاده از روش انتخاب ویژگی با استفاده از روش AGV

فصل نهم  
پردازش و درآمد

- and Information Engineering, National Taiwan University:<http://www.csie.ntu.edu.tw/~cjlin/libsvm/>.
- Huang, W., Lin, X., and Dai, X., 2009. A novel approach for palmprint ridges features extraction. 2nd International Congress on Image and Signal Processing, 1 – 5.
- Kong, A., Zhang, D., and Kamel, M., 2006. Palmprint identification using feature-level fusion. *Pattern Recognition*, 39(3), 478–487.
- Kong, A., Zhang, D., and Kamel, M., 2009. A survey of palmprint recognition. *Journal of Pattern Recognition*, 42(7), 1408–1418.
- Li, Q., Qiu, Z., and Sun, D., 2006. Feature-level fusion of hand biometrics for personal verification based on Kernel PCA. *International Conference on Biometrics*, 744–750.
- Lu, G. M., Wang, K. Q., and Zhang, D., 2004. Wavelet based independent component analysis for palmprint identification. *International Conference on Machine Learning and Cybernetics*, 6, 3547–3550.
- Lu, J., Zhang, E., Kang, X., Xue, Y., and Chen, Y., 2006. Palmprint recognition using wavelet decomposition and 2D principal component analysis. *Communications, Circuits and Systems Proceeding* (pp. 2133-2136).
- Mallat, S., 1998. *Wavelet tour of signal processing* (2<sup>nd</sup> ed.). Academic press.
- Mu, M., Ruan Q., and Shen Y., 2010. Palmprint recognition based on discriminative local binary patterns statistic feature. *International Conference on Signal Acquisition and Processing*, 193 – 197.
- Nicolae, D., 2009. A survey of biometric technology based on hand shape. *Pattern Recognition*, 42(11), 2797 – 2806. PolyU Palmprint Database: <http://www.4.comp.polyu.edu.hk/~biometrics/>.
- Prasad, S. M., Govindan, V. K., and Sathidevi, P. S., 2011. Palmprint authentication using fusion of wavelet and contourlet features. *Journal of Security and Communication Networks*, Wiley publication, 4(5), 577–590. DOI: 10.1002/sec.234.
- Ravikanth, C., and Kumar, A. (2007). Biometric authentication using finger-back surface, 1-6.
- Shakhnarovich, G., Darrell, T., and Indyk, P., 2005. *Nearest-Neighbor Methods in Learning and Vision: Theory and Practice*. Neural Information Processing, MIT Press.
- Shang, L., Huang, D. S., Du, J. X., and Huang, Z. K., 2006. Palmprint recognition using ICA based on Boostani, R., Saadatnezhad, K., and Sabeti, M., 2009. An efficient classifier to diagnose of schizophrenia based on the EEG signals. *Expert Systems with Applications*, 36(3)(2), 6492-6499.
- Boukhonine, S., Krotov, V., and Rupert, B., 2005. Future security approaches and biometrics. *Communications of the Association for Information Systems*, 16, 937-966.
- Connie, T., Jin, A. T. B., Ong, M. G. K., and Ling, D. N. C., 2005. An automated palmprint recognition system. *Image and Vision Computing*, 23 (5), 501–515.
- Dale, M. P., Joshi, M.A., and Gilda, N., 2009. Texture based palmprint identification using DCT features. *Advances in Pattern Recognition*, 221-224.
- Delac, K., and Grgic, M., 2004. A survey of biometrics recognition methods. *46th International Symposium Electronics*. Zadar, Croatia.
- Deng, W., Hu, J., Guo, J., Zhang, H., and Zhang, C., 2008. Comment on Globally maximizing locally minimizing: unsupervised discriminant projection with applications to face and palm biometrics. *IEEE Transactions on Pattern Analysis and Machine Intelligence*, 30 (8), 1503–1504.
- Dias, N. S., Kamrunnahar, M., Mendes, P. M., Schiff, S. J., and Correia, J. H., 2009. Variabile subset selection for brain-Computer interface-PCA-based dimensionality reduction and feature selection. *International Conference on Bio-inspired Systems and Signal Processing*.
- Do, M. N., and Vetterli, M., 2003. *Contourlets beyond wavelets*. New York: J. Stoeckler and G.V. Welland, Eds. Academic Press.
- Dong, K., Feng, G., and Hu, D., 2004. Digital curvelet transform for palmprint recognition. in: S.Z. Li, et al. (Eds.), *Sinobiometrics*, Lecture Notes in Computer Science, 3338, 639–645.
- Ekinci, M., and Aykut, M., 2007. Palmprint recognition by applying wavelet subband representation and kernel PCA. *Lecture Notes in Artificial Intelligence*, 628–642.
- Feng, G., Hu, D., Zhang, D., and Zhou, Z., 2006. An alternative formulation of kernel LPP with application to image recognition. *Neurocomputing*, 67 (13–15), 1733–1738.
- Hsu, C. W., Chang, C. C., and Lin, C. J., 2003. A practical guide to support vector classification. Technical report, Department of Computer Science



محمد رضا خضری متولد ۱۳۶۲ در شیراز است. او در سال ۱۳۸۵ در مقطع کارشناسی در رشته مهندسی کامپیوتر گرایش نرم افزار از دانشگاه آزاد شیراز فارغ التحصیل شد. وی در زمان انجام

این تحقیق، پایان نامه کارشناسی ارشد خود را در دانشگاه پیام نور و با نظرارت دکتر سعید آیت انجام داده است. ایشان هم‌اکنون عضو ثابت انجمن ماشین بینایی و پردازش تصویر ایران است و یکی از زمینه‌های تحقیقاتی مورد علاقه ایشان، پردازش تصویر می‌باشد.

نشانی رایانامک ایشان عبارت است از:

mrkh83@gmail.com

winner-take-all network and radial basis probabilistic neural network. Lecture Notes in Computer Science, 3972, 216–221.

Shen, L., Ji, Z., Zhang, L., and Guo, Z., 2009. Applying LBP operator to Gabor response for palmprint identification. Information Engineering and Computer Science, 1-3.

Woodard, D. L., and Flynn, P. J., 2005. Finger surface as a biometric identifier. CVIU, 100, 357–384.

Yang, J., Zhang, D., Yang, J. Y., and Niu, B., 2007. Globally maximizing locally minimizing: unsupervised discriminant projection with applications to face and palm biometrics. IEEE Transactions on Pattern Analysis and Machine Intelligence, 29 (4), 650–664.

Zhang, D., Kong, W. K., You, J., and Wong, M., 2003. On-line palmprint identification. IEEE Trans. on PAMI, 25(9), 1041–1050.

Zhang, L., Zhang, L., and Zhang, D., 2009. Finger-Knuckle-Print verification based on band-limited phase-only correlation. CAIP'09, LNCS, 5702, 141–148.

Zhou, J., Sun, D., Qiu, Z., Xiong, K., Liu, D., and Zhang, Y., 2009. Palmprint recognition by fusion of multi-color components. Cyber-Enabled Distributed Computing and Knowledge Discovery, 273–278.



سید سعید آیت در نجف آباد متولد شد. ایشان در سال ۱۳۸۵، با رتبه اول از دانشگاه صنعتی شریف مدرک دکتری مهندسی کامپیوتر را دریافت نمود. وی مدرک کارشناسی ارشد را در سال ۱۳۷۹ از دانشگاه صنعتی امیرکبیر و مدرک کارشناسی خود را در سال ۱۳۷۷ از دانشگاه صنعتی شریف در رشته مهندسی کامپیوتر دریافت نمود. نامبرده هم‌اکنون عضو هیأت علمی دانشگاه پیام نور مرکز نجف آباد می‌باشد. وی نویسنده کتاب مبانی پردازش سیگنال گفتار است و زمینه‌های مورد علاقه ایشان پردازش سیگنال گفتار، پردازش سیگنال‌های دیجیتال، و تبدیلات زمان-فرکانس نظیر تبدیل موجک و کاربردهای آنها را شامل می‌شود.

نشانی رایانامک ایشان عبارت است از:

dr.ayat@pnu.ac.ir

فصلنامه  
دانشگاه پردازش زمان-فرکانس

سال ۱۳۸۹ شماره ۲ پیاپی ۱۴

www.SFZP.pnu.ac.ir